

# Efficacité et sécurité contre les attaques par canaux auxiliaires des implémentations de RSA utilisant un système modulaire de représentation (RNS)

Fabrice Ben Hamouda

Sous la direction d'Elisabeth Oswald et de Dan Page

ENS – Bristol Cryptography Group

21 Septembre 2011

Les **cartes à puces** sont omniprésentes :  
carte bancaire, carte vitale, passe Navigo, carte d'accès à l'ENS, ...

Les cartes à puce stockent généralement une **clé** secrète et utilisent des **algorithmes cryptographiques** pour permettre leur authentification (et la confidentialité des transferts de données).

Les **cartes à puces** sont omniprésentes :  
carte bancaire, carte vitale, passe Navigo, carte d'accès à l'ENS, ...

Les cartes à puce stockent généralement une **clé** secrète et utilisent des **algorithmes cryptographiques** pour permettre leur authentification (et la confidentialité des transferts de données).

Parmi ces algorithmes cryptographiques, **RSA** est très utilisé. Il consiste grossièrement en une **exponentiation modulaire** de grands nombres :

$$y = x^d \pmod{N}$$

- $d$  : secret
- $x, N$  : connus

Il y a deux défis principaux lors de l'implémentation d'algorithmes cryptographiques dans les cartes à puce :

- **efficacité** (temps, mémoire) de ces algorithmes cryptographiques
- **sécurité** :
  - théorique de l'algorithme
  - de l'implémentation elle-même
    - contre les **attaques par canaux auxiliaires**

Les attaques par canaux auxiliaires consistent récupérer la clé secrète en utilisant des fuites d'information (lors d'un calcul cryptographique) liées à l'implémentation utilisée :

- temps de calcul (Paul Kocher, 1996)
- consommation électrique (Paul Kocher, 1998)
- rayonnement électromagnétique
- comportement de la carte lors de l'introduction de fautes

Les attaques par canaux auxiliaires consistent récupérer la clé secrète en utilisant des fuites d'information (lors d'un calcul cryptographique) liées à l'implémentation utilisée :

- temps de calcul (Paul Kocher, 1996)
- **consommation électrique** (Paul Kocher, 1998) : SPA et DPA
- rayonnement électromagnétique
- comportement de la carte lors de l'introduction de fautes

Nous nous intéresserons à l'implémentation de RSA sur des **microprocesseurs 32 bits**.

Les instructions assembleur de tels microprocesseurs peuvent uniquement manipuler des nombres de 32 bits. Les grands entiers doivent être représentés par plusieurs entiers machine.

Nous nous intéresserons à l'implémentation de RSA sur des **microprocesseurs 32 bits**.

Les instructions assembleur de tels microprocesseurs peuvent uniquement manipuler des nombres de 32 bits. Les grands entiers doivent être représentés par plusieurs entiers machine.

Nous utiliserons un système modulaire de représentation (RNS).

## 1 Système modulaire de représentation (RNS)

- Introduction
- Réduction de Montgomery classique
- Réduction de Montgomery avec RNS

## 2 Efficacité des implémentations proposées

- Pseudo-nombres de Mersenne et opérations efficaces sur les canaux
- x86\_64
- ARM
- Nios II

## 3 Attaques SPA et DPA

- Introduction
- Randomisation intra-base
- Coût des contre-mesures

L'exponentiation modulaire de RSA peut être implémentée par un algorithme d'exponentiation rapide :

**Require:**  $x$  est le message,  $N$  est le module,  $d = \sum_{i=0}^{k-1} d_i 2^i$  est l'exposant privé ( $d_i \in \{0, 1\}$ ,  $d_{k-1} = 1$ )

**Ensure:**  $y = x^d \pmod N$

```
1:  $y \leftarrow x$ 
2: for  $i = k - 2$  downto 0 do
3:    $y \leftarrow y \times y \pmod N$ 
4:   if  $d_i = 1$  then
5:      $y \leftarrow x \times y \pmod N$ 
6:   end if
7: end for
8: return  $y$ 
```

qui requiert en moyenne approximativement  $1.5k$  multiplications modulaires ( $k = 1024$  pour RSA 1024).

## 1 Système modulaire de représentation (RNS)

- Introduction
- Réduction de Montgomery classique
- Réduction de Montgomery avec RNS

## 2 Efficacité des implémentations proposées

- Pseudo-nombres de Mersenne et opérations efficaces sur les canaux
- x86\_64
- ARM
- Nios II

## 3 Attaques SPA et DPA

- Introduction
- Randomisation intra-base
- Coût des contre-mesures

Soit  $x$  un entier naturel (de 1024 bits).

Il peut être représenté :

- par  $n = 32$  nombres de 32 bits :  $x_0, \dots, x_{n-1}$ , les chiffres de  $x$  écrits en base  $2^{32}$

$$x = x_{n-1}2^{32(n-1)} + \dots + x_22^{64} + x_12^{32} + x_0$$

Soit  $x$  un entier naturel (de 1024 bits).

Il peut être représenté :

- par  $n = 32$  nombres de 32 bits :  $x_0, \dots, x_{n-1}$ , les chiffres de  $x$  écrits en base  $2^{32}$

$$x = x_{n-1}2^{32(n-1)} + \dots + x_22^{64} + x_12^{32} + x_0$$

ou

- par  $n = 33$  nombres de 32 bits :  $x_1, \dots, x_n$ , appelés **canaux**, tels que

$$x_1 = x \pmod{m_1} \quad \dots \quad x_n = x \pmod{m_n}$$

où  $m_1, \dots, m_n$  sont des nombres de 32 bits deux-à-deux premiers entre eux, suffisamment grands, appelés **moduli**. Ils forment une **base**  $\mathfrak{B}_1$ . Cette représentation est appelée **RNS**.

# Justification de RNS

Soit  $M_1 = \prod_{i=1}^n m_i$ .

Posons :

- $|x|_m = x \pmod m$
- $\mathbb{Z}_m = \mathbb{Z}/m\mathbb{Z} = [0, m - 1]$

# Justification de RNS

Soit  $M_1 = \prod_{i=1}^n m_i$ .

Posons :

- $|x|_m = x \pmod m$
- $\mathbb{Z}_m = \mathbb{Z}/m\mathbb{Z} = [0, m - 1]$

## Theorem (Théorème des restes chinois (CRT))

*La fonction suivante est un isomorphisme d'anneaux :*

$$\left( \begin{array}{ccc} \mathbb{Z}_{M_1} & \rightarrow & \mathbb{Z}_{m_1} \times \cdots \times \mathbb{Z}_{m_n} \\ x & \mapsto & (x_1, \dots, x_n) = (|x|_{m_1}, \dots, |x|_{m_n}) \end{array} \right)$$

# Justification de RNS

Soit  $M_1 = \prod_{i=1}^n m_i$ .

Posons :

- $|x|_m = x \pmod m$
- $\mathbb{Z}_m = \mathbb{Z}/m\mathbb{Z} = [0, m - 1]$

## Theorem (Théorème des restes chinois (CRT))

*La fonction suivante est un isomorphisme d'anneaux :*

$$\left( \begin{array}{ccc} \mathbb{Z}_{M_1} & \rightarrow & \mathbb{Z}_{m_1} \times \cdots \times \mathbb{Z}_{m_n} \\ x & \mapsto & (x_1, \dots, x_n) = (|x|_{m_1}, \dots, |x|_{m_n}) \end{array} \right)$$

*De plus si  $M_{1,i} = \frac{M_1}{m_i}$ , on a*

$$x = \sum_{i=1}^n \left| x_i M_{1,i}^{-1} \right|_{m_i} M_{1,i} \pmod M.$$

Soient  $x = (x_1, \dots, x_n)$  et  $y = (y_1, \dots, y_n)$  deux nombres RNS.  
Grâce au CRT, pour toute opération  $\odot \in \{+, -, \times, /\}$ , on a

$$|x \odot y|_{M_1} = (|x_1 \odot y_1|_{m_1}, \dots, |x_n \odot y_n|_{m_n}).$$

Complexité en temps :  $O(n)$ .

Ces opérations peuvent être faites en **parallèle**, pour chaque canal.

Soient  $x = (x_1, \dots, x_n)$  et  $y = (y_1, \dots, y_n)$  deux nombres RNS.  
Grâce au CRT, pour toute opération  $\odot \in \{+, -, \times, /\}$ , on a

$$|x \odot y|_{M_1} = (|x_1 \odot y_1|_{m_1}, \dots, |x_n \odot y_n|_{m_n}).$$

Complexité en temps :  $O(n)$ .

Ces opérations peuvent être faites en **parallèle**, pour chaque canal.

Mais la comparaison, la division entière et la réduction modulaire sont des opérations complexes.

Soient  $x = (x_1, \dots, x_n)$  et  $y = (y_1, \dots, y_n)$  deux nombres RNS.  
Grâce au CRT, pour toute opération  $\odot \in \{+, -, \times, /\}$ , on a

$$|x \odot y|_{M_1} = (|x_1 \odot y_1|_{m_1}, \dots, |x_n \odot y_n|_{m_n}).$$

Complexité en temps :  $O(n)$ .

Ces opérations peuvent être faites en **parallèle**, pour chaque canal.

Mais la comparaison, la division entière et la réduction modulaire sont des opérations complexes.

Comment implémenter une multiplication modulaire pour RSA ?

# Réduction de Montgomery classique

Soient  $R > N$  un entier premier avec  $N$  et  $x$  un entier dans  $[0, RN - 1]$ .  
La réduction de Montgomery  $x$  modulo  $N$  par rapport à  $R$  est

$$y = xR^{-1} \pmod{N}.$$

# Réduction de Montgomery classique

Soient  $R > N$  un entier premier avec  $N$  et  $x$  un entier dans  $[0, RN - 1]$ .  
La réduction de Montgomery  $x$  modulo  $N$  par rapport à  $R$  est

$$y = xR^{-1} \pmod{N}.$$

Elle peut être calculée très efficacement si  $R$  est une puissance de 2.

- 1:  $q \leftarrow x \times |-R^{-1}|_N \pmod{R}$
- 2:  $y \leftarrow (x + qN)/R$
- 3: **if**  $y > N$  **then**
- 4:      $y \leftarrow y - N$
- 5: **end if**

Idée de la preuve :

$$x + qN \equiv 0[R]$$

$$x + qN < 2RN$$

Complexité : environ  $n^2$  multiplications.

# Utilisation de la réduction de Montgomery

On ne peut pas utiliser directement la réduction de Montgomery, sinon on obtiendrait :

$$x^d R^{-d'} \pmod{N}$$

au lieu de

$$x^d \pmod{N}.$$

On ne peut pas utiliser directement la réduction de Montgomery, sinon on obtiendrait :

$$x^d R^{-d} \pmod{N}$$

au lieu de

$$x^d \pmod{N}.$$

On remplace donc  $x$  par  $\tilde{x} = xR \pmod{N}$ , la **représentation de Montgomery** de  $x$ .

Comme

$$\tilde{x}\tilde{y} = (xR)(yR)R^{-1} \pmod{N} = \widetilde{xy} \pmod{N},$$

on obtient, à la fin de l'exponentiation :

$$\widetilde{x^d} = x^d R$$

# Réduction de Montgomery avec RNS

Pour que la réduction modulo  $R$  soit facile, on prend  $R = M_1$ .

La division par  $R = M_1$  est impossible dans la base  $\mathfrak{B}_1$ . Donc on utilise une deuxième base  $\mathfrak{B}_2 = (m_{n+1}, \dots, m_{2n})$ .

# Réduction de Montgomery avec RNS

Pour que la réduction modulo  $R$  soit facile, on prend  $R = M_1$ .  
La division par  $R = M_1$  est impossible dans la base  $\mathfrak{B}_1$ . Donc on utilise une deuxième base  $\mathfrak{B}_2 = (m_{n+1}, \dots, m_{2n})$ .

**Require:**  $0 \leq x < 4N^2$  un nombre RNS dans la base  $\mathfrak{B}_1 \cup \mathfrak{B}_2$ .

**Require:**  $0 < 4N < M_1, M_2$  and  $\gcd(N, M_1) = 1$

**Ensure:**  $0 \leq y < 2N$  un nombre RNS (dans la base  $\mathfrak{B}_1 \cup \mathfrak{B}_2$ )  
congruent à  $x$  modulo  $N$ .

- 1:  $q \leftarrow x \times \left| -N^{-1} \right|_{M_1}$  dans  $\mathfrak{B}_1$
- 2: Étendre  $q$  de  $\mathfrak{B}_1$  à  $\mathfrak{B}_2$
- 3:  $y \leftarrow (x + q \times N) \times \left| M_1^{-1} \right|_{M_2}$  dans  $\mathfrak{B}_2$
- 4: Étendre  $y$  de  $\mathfrak{B}_2$  à  $\mathfrak{B}_1$

Les étapes 1 et 3 sont en  $O(n)$ .

Comment effectuer les deux extensions de base ?

Quelle est leur complexité ?

Trois algorithmes possibles :

- utilisation de MRS (système en base mixte), une représentation associée à RNS

Complexité : environ  $\frac{3}{2}n^2$  multiplications

Mémoire :  $\Omega(n)$  (ou  $\Omega(n^2)$ ) nombres de 32 bits

- utilisation du CRT selon Bajard

Complexité : environ  $n^2$  multiplications

Mémoire :  $\Omega(n^2)$  nombres de 32 bits

- utilisation du CRT selon Kawamura

Complexité : environ  $n^2$  multiplications

Mémoire :  $\Omega(n^2)$  nombres de 32 bits

Les étapes 1 et 3 sont en  $O(n)$ .

Comment effectuer les deux extensions de base ?

Quelle est leur complexité ?

Trois algorithmes possibles :

- utilisation de MRS (système en base mixte), une représentation associée à RNS

Complexité : environ  $\frac{3}{2}n^2$  multiplications

Mémoire :  $\Omega(n)$  (ou  $\Omega(n^2)$ ) nombres de 32 bits

- utilisation du CRT selon Bajard

Complexité : environ  $n^2$  multiplications

Mémoire :  $\Omega(n^2)$  nombres de 32 bits

- utilisation du CRT selon Kawamura

Complexité : environ  $n^2$  multiplications

Mémoire :  $\Omega(n^2)$  nombres de 32 bits

Les étapes 1 et 3 sont en  $O(n)$ .

Comment effectuer les deux extensions de base ?

Quelle est leur complexité ?

Trois algorithmes possibles :

- utilisation de MRS (système en base mixte), une représentation associée à RNS

Complexité : environ  $\frac{3}{2}n^2$  multiplications

Mémoire :  $\Omega(n)$  (ou  $\Omega(n^2)$ ) nombres de 32 bits

- utilisation du CRT selon Bajard

Complexité : environ  $n^2$  multiplications

Mémoire :  $\Omega(n^2)$  nombres de 32 bits

- utilisation du CRT selon Kawamura

Complexité : environ  $n^2$  multiplications

Mémoire :  $\Omega(n^2)$  nombres de 32 bits

## 1 Système modulaire de représentation (RNS)

- Introduction
- Réduction de Montgomery classique
- Réduction de Montgomery avec RNS

## 2 Efficacité des implémentations proposées

- Pseudo-nombres de Mersenne et opérations efficaces sur les canaux
- x86\_64
- ARM
- Nios II

## 3 Attaques SPA et DPA

- Introduction
- Randomisation intra-base
- Coût des contre-mesures

# Pseudo-nombres de Mersenne et opérations sur les canaux

Pour accélérer les calculs sur les canaux, on prend comme moduli  $m_i$  des pseudo-nombres de Mersenne, i.e. des nombres premiers de la forme :

$$m_i = 2^{32} - c_i$$

avec  $c_i < 2^{15}$ .

La réduction d'un nombre  $a$  de 64 bits se fait alors ainsi :

- 1: Écrire  $a = a_1 2^{32} + a_0$  avec  $0 \leq a_1, a_0 < 2^{32}$
- 2:  $a' \leftarrow a_1 \times c_i + a_0$        $\{a' \equiv a [m] \text{ et } a' < 2^{48}\}$
- 3: Écrire  $a' = a'_1 2^{32} + a'_0$  avec  $0 \leq a'_1, a'_0 < 2^{32}$        $\{a'_1 < 2^{16}\}$
- 4:  $a'' \leftarrow a'_1 \times c_i + a'_0$        $\{a'' \equiv a [m] \text{ et } a'' < 2^{32}\}$
- 5: **if**  $a'' > m$  **then**
- 6:     **return**  $a'' - m$
- 7: **else**
- 8:     **return**  $a''$
- 9: **end if**

**TABLE:** Comparaison de la vitesse d'un déchiffrement RSA 1024 avec RNS (avec exponentiation par fenêtre glissante de 6 bits) et avec GMP, sur x86\_64

Taille moduli	SSE	Par. MRS		Seq. MRS		Bajard		Kawamura	
		Durée (ms)	GMP ratio <sup>a</sup>	Durée (ms)	GMP ratio	Durée (ms)	GMP ratio	Durée (ms)	GMP ratio
32 bits	no	19.95	21.82	27.19	30.76	4.87	5.53	4.73	5.36
		± 0.02	± 0.10	± 0.03	± 0.12	± 0.00	± 0.01	± 0.00	± 0.01
32 bits	2	18.15	19.80	26.91	30.47	4.60	5.21	4.46	5.06
		± 0.02	± 0.04	± 0.02	± 0.07	± 0.00	± 0.01	± 0.00	± 0.01
32 bits	4.1	16.82	18.98	26.86	30.47	4.54	5.13	4.43	5.02
		± 0.01	± 0.02	± 0.03	± 0.05	± 0.00	± 0.01	± 0.00	± 0.01
64 bits	n/a	7.35	8.31	9.17	10.44	2.74	3.11	2.57	2.91
		± 0.01	± 0.02	± 0.01	± 0.03	± 0.01	± 0.01	± 0.00	± 0.01

**TABLE:** Comparaison de la vitesse d'un déchiffrement RSA 1024 avec RNS et avec la librairie multi-precision (exponentiation rapide), sur ARM7, à 7.3728 MHz

	Durée (ms)	Ratio avec librairie multi-precision
RNS MRS parallèle	24.89 ± 0.17	2.38
RNS MRS séquentiel	23.88 ± 0.19	2.28
RNS Bajard	11.81 ± 0.07	1.13
RNS Kawamura	11.56 ± 0.08	<b>1.11</b>
Multi-precision	10.46 ± 0.01	1
Multi-precision <sup>a</sup>	8.80 ± 0.01	0.84

<sup>a</sup> Avec boucles déroulées.

# Instructions personnalisées pour Nios II

Nios II est un microprocesseur “soft-core” de type RISC supportant des instructions personnalisées à 3 opérandes.

# Instructions personnalisées pour Nios II

Nios II est un microprocesseur “soft-core” de type RISC supportant des instructions personnalisées à 3 opérandes.

- **Accumulateur** de 72 bits avec une multiplication  $32 \times 32$  bits avec résultat de 64 bits.

**Usage** : multiplication, algorithmes de Bajard et Kawamura

- **Unité « multiplication réduction »** :

$$x \times (y - z) + t \quad \text{mod } m$$

avec  $x, y, z, t$  des entiers de 32 bits

tels que  $y - z$  a seulement 16 bits et  $m = 2^{32} - c$  est un pseudo nombre de Mersenne.

**Usage** : MRS séquentiel et réduction de nombres de 64 bits modulo  $m_i$  car

$$x \quad \text{mod } m = x_1 \times (c - 0) + x_0 \quad \text{mod } m_i.$$

si  $x = x_1 2^{32} + x_0$  et  $x_0, x_1$  sont des nombres de 32 bits.

Ces deux unités sont implémentées en Verilog en utilisant seulement un multiplieur  $16 \times 32$  bits.

**TABLE:** Comparaison de la vitesse d'un déchiffrement RSA 1024 sur ARM7 et sur Nios II (exponentiation rapide), à 7.3728 MHz

	Nios II (ms)	ARM (ms)	Ratio
RNS MRS parallèle	$13.75 \pm 0.09$	$24.89 \pm 0.17$	1.81
RNS MRS séquentiel	$8.88 \pm 0.05$	$23.88 \pm 0.19$	2.69
RNS Bajard	$6.72 \pm 0.19$	$11.81 \pm 0.07$	1.76
RNS Kawamura	$6.39 \pm 0.10$	$11.56 \pm 0.08$	1.81

## 1 Système modulaire de représentation (RNS)

- Introduction
- Réduction de Montgomery classique
- Réduction de Montgomery avec RNS

## 2 Efficacité des implémentations proposées

- Pseudo-nombres de Mersenne et opérations efficaces sur les canaux
- x86\_64
- ARM
- Nios II

## 3 Attaques SPA et DPA

- Introduction
- Randomisation intra-base
- Coût des contre-mesures

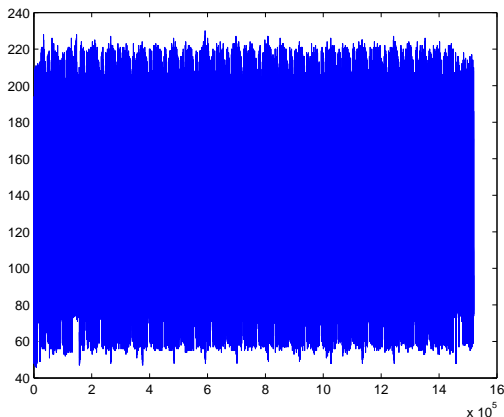
# Analyse simple de consommation (SPA) and analyse différentielle de consommation (DPA)

La consommation électrique de tout microprocesseur dépend des instructions exécutées et des données traitées.

L'analyse de cette consommation peut permettre de retrouver la clé secrète utilisée lors d'un déchiffrement RSA.

# Analyse simple de consommation (SPA) and analyse différentielle de consommation (DPA)

On appelle **trace**, le graphe de la consommation en fonction du temps lors d'un déchiffrement RSA.



# Analyse simple de consommation (SPA) and analyse différentielle de consommation (DPA)

La consommation électrique de tout microprocesseur dépend des instructions exécutées et des données traitées.

L'analyse de cette consommation peut permettre de retrouver la clé secrète utilisée lors d'un déchiffrement RSA.

On appelle **trace**, le graphe de la consommation en fonction du temps lors d'un déchiffrement RSA.

Deux grands types d'attaques :

- SPA : interprétation directe d'une seule trace
- DPA : utilisation de plusieurs traces et de méthodes statistiques

# Une attaque SPA simple

Dans certaines implémentations de RSA, la multiplication modulaire et la mise au carré ne consomment pas la même quantité d'électricité.

Il est alors possible de distinguer les multiplications des mises au carré, et de retrouver l'exposant.

$d$	1	0	1	1	0	1	0	1				
M / S / F		F	S	M	S	M	S	S	M	S	S	M
Result	$x$	$x^2$	$x^4$	$x^5$	$x^{10}$	$x^{11}$	$x^{22}$	$x^{44}$	$x^{45}$	$x^{90}$	$x^{180}$	$x^{181}$

- F : multiplication par  $x$  et mise au carré
- S : mise au carré
- M : multiplication par  $x$

Cette attaque est difficile avec RNS car multiplication et mise au carré sont identiques.

Cette attaque est difficile avec RNS car multiplication et mise au carré sont identiques.

De plus, pour se protéger contre d'autres attaques SPA simple, des versions *side-channel atomic* des algorithmes d'exponentiation sont utilisées :

la même séquence d'instruction est exécutée un certain nombre de fois par le microprocesseur

⇒ pas de sauts dépendant des données.

## Objectif

Distinguer les multiplications par  $x$  des mises au carré, en cherchant les endroits où le premier canal  $x_1$  de  $x$  est chargé dans un registre.

On effectue  $s$  déchiffrements RSA avec différents  $x : x^{(1)}, \dots, x^{(s)}$  (choisis aléatoirement). Et on enregistre les traces correspondantes.

## Objectif

Distinguer les multiplications par  $x$  des mises au carré, en cherchant les endroits où le premier canal  $x_1$  de  $x$  est chargé dans un registre.

On effectue  $s$  déchiffrements RSA avec différents  $x : x^{(1)}, \dots, x^{(s)}$  (choisis aléatoirement). Et on enregistre les traces correspondantes.

Représentons  $x$  comme un échantillon d'une variable aléatoire  $X$  et les traces comme une liste de variables aléatoires  $(T_t)$ .

Soit  $W$  le premier canal de  $X$  et  $H = HW(W)$ .

Comme la consommation du microprocesseur ARM7TDMI-S dépend linéairement du poids de Hamming (HW) des données chargées à partir de la mémoire :

- si  $t$  correspond à un chargement du premier canal de  $X$  :

$$H = HW(W) \text{ dépend linéairement de } T_t$$

- sinon :

$$H = HW(W) \text{ est indépendant de } T_t$$

Comment distinguer ces deux cas ?

Comment distinguer ces deux cas ?

Il est possible d'utiliser le **coefficient de corrélation linéaire de Pearson**

$$\rho_t = \rho(H, T_t) = \frac{\text{Cov}(H, T_t)}{\sqrt{\text{Var}(H) \text{Var}(T_t)}} \in [-1, 1].$$

En effet :

- $|\rho_t| = 1$  si  $H$  et  $T_t$  sont linéairement dépendant ;
- $\rho_t = 0$  si  $H$  et  $T_t$  sont indépendants.

# Une attaque DPA simple (résultats)

$d$	1	0	1	1	0	1	0	1	0	1		
M / S / F		F	S	M	S	M	S	S	M	S	S	M
Result	$x$	$x^2$	$x^4$	$x^5$	$x^{10}$	$x^{11}$	$x^{22}$	$x^{44}$	$x^{45}$	$x^{90}$	$x^{180}$	$x^{181}$

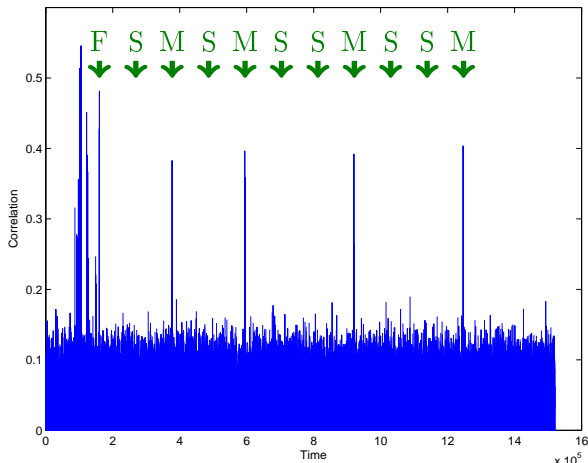


FIGURE: Corrélation avec 500 traces,  $d = 181$  et  $n = 4$

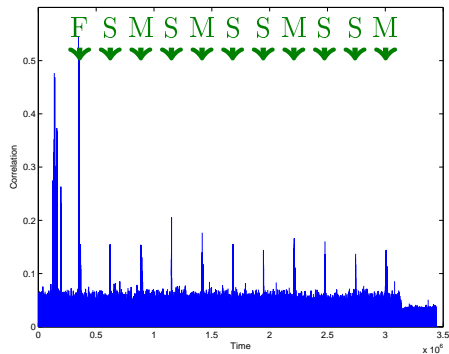
Une première idée pour rendre les attaques plus difficiles consiste à changer régulièrement l'ordre des moduli dans chacune des bases  $\mathfrak{B}_1$  et  $\mathfrak{B}_2$ . Seul l'ordre des opérations est changé (et certaines constantes dans certains cas).

Une première idée pour rendre les attaques plus difficiles consiste à changer régulièrement l'ordre des moduli dans chacune des bases  $\mathfrak{B}_1$  et  $\mathfrak{B}_2$ . Seul l'ordre des opérations est changé (et certaines constantes dans certains cas).

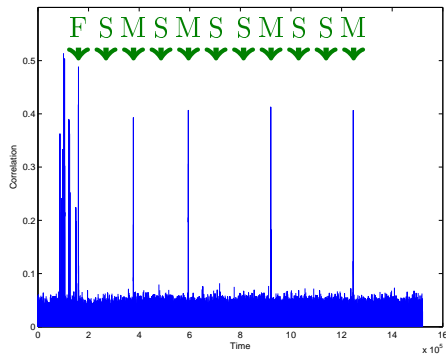
En théorie, cela divise le coefficient de Pearson par  $n = 4$  et multiplie le nombre de traces nécessaires par  $n^2 = 16$ .

Il est cependant possible de ne multiplier le nombre de traces nécessaires que par  $n = 4$ .

# Randomisation intra-base



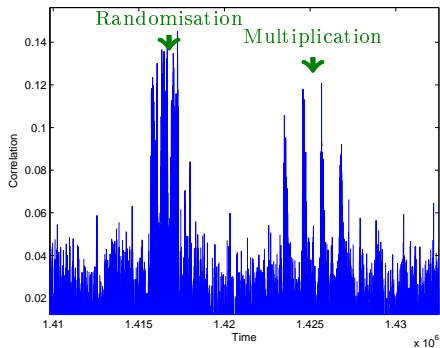
(a) Randomisation intra-base



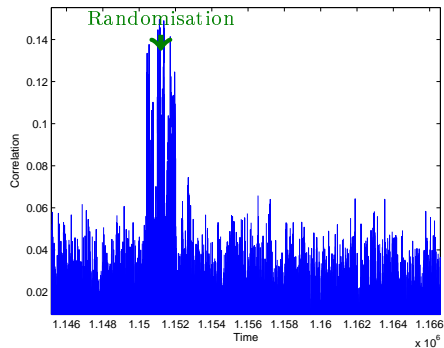
(b) Pas de randomisation

FIGURE: Corrélation avec 3000 traces

# Randomisation intra-base



(a) Multiplication



(b) Carré

FIGURE: Corrélation avec 3000 traces (zoom trace randomisation)

# Coût des contre-mesures sur ARM

Algorithm	Pas de rand.	Intra-base <sup>a</sup>		Inter-base <sup>b</sup>	
	Durée (ms)	Durée (ms)	Ratio	Durée (ms)	Ratio
Par. MRS	24.89	29.88 <sup>f</sup>	1.20 <sup>f</sup>	55.63 <sup>f</sup>	2.24 <sup>f</sup>
		28.26 <sup>g</sup>	1.14 <sup>g</sup>		
Seq. MRS	23.88	36.04 <sup>f</sup>	1.50 <sup>f</sup>	53.92 <sup>f</sup>	2.26 <sup>f</sup>
		35.61 <sup>g</sup>	1.50 <sup>g</sup>		
Kawamura	11.56	14.27 <sup>g</sup>	1.23 <sup>g</sup>	n/a	n/a

<sup>a</sup> Avant chaque multiplication modulaire.

<sup>b</sup> Avant 1 multiplication modulaire sur 5.

<sup>f</sup> La représentation des nombres est randomisées en mémoire.

<sup>g</sup> La représentation des nombres n'est pas randomisées en mémoire.

- Théorie
  - Étude de la complexité de la réduction de Montgomery avec RNS
  - Analyse des attaques SPA et DPA connues
  - Analyse de la randomisation des bases (LRA)
  - Extension à la réduction classique de Montgomery
  - Analyse de l'arithmétique redondante de Montgomery (RMA)
- Pratique
  - Différentes de RNS RSA en C
  - Optimisation des parties critiques en assembleur pour x86\_64 (+SSE), ARMv4 et Nios II
  - Proposition et implémentation d'une extension de jeu d'instructions pour Nios II
  - Attaques DPA réelles
- Divers
  - Étude de l'implémentation efficace des permutations
  - Nouvelle multiplication en temps constant pour ARMv4
  - Proposition d'un algorithme *side-channel atomic Montgomery ladder*

- Optimisation du programme : meilleur ordonnancement des instructions (x86\_64), déroulement des boucles critiques, ...
- Meilleure comparaison avec le travail de Lim et Philips (une autre extension de jeu d'instructions)
- Analyse des attaques par *template DPA*
- Analyse des attaques par fautes (en particulier DFA)

Merci de votre attention

Il existe deux contre-mesures classiques :

- **masquage du message** : changer la représentation de  $x$  utilisée pendant l'exponentiation, par exemple en  $xr^e$  ( $r$  aléatoire) car :

$$(xr^e)^d = x^d$$

- **masquage de l'exposant** : remplacer l'exposant  $d$  par  $d + r\Phi(N)$  ( $r$  aléatoire) car :

$$x^{d+r\Phi(N)} = x^d$$

Rappels sur RSA :

- $(x^e)^d = x$
- $x^{\Phi(N)} = 1$

# Corrélation interne

Pour contrer le masquage du message, il est possible de choisir  $H = T_{t'}$  avec  $t'$  l'instant où  $x_1$  est chargé lors de la première multiplication.

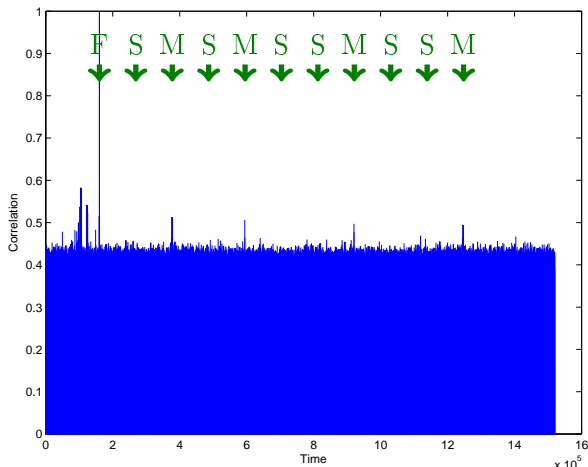


FIGURE: Corrélation avec 500 traces,  $d = 181$  et  $n = 4$

# Randomisation inter-base et arithmétique redondante de Montgomery (RMA)

- **randomisation inter-base** : permutation aléatoire de tous les moduli ensemble. Comme  $R = M_1$ , les représentations de Montgomery des nombres utilisés changent.
- **arithmétique redondante de Montgomery (RMA)** : ajout d'un multiple  $rN$  ( $r$  aléatoire) aux nombres utilisés.

# Randomisation inter-base et arithmétique redondante de Montgomery (RMA)

- **randomisation inter-base** : permutation aléatoire de tous les moduli ensemble. Comme  $R = M_1$ , les représentations de Montgomery des nombres utilisés changent.
- **arithmétique redondante de Montgomery (RMA)** : ajout d'un multiple  $rN$  ( $r$  aléatoire) aux nombres utilisés.

Remarques :

- Ces contre-mesures offrent plus de possibilité que le masquage des messages (contre-mesures classiques).
- RMA est très peu coûteux, contrairement à la randomisation inter-base qui nécessite deux multiplications de Montgomery par variable intermédiaire.
- RMA utilisé avec la randomisation intra-base apporte approximativement les mêmes avantages que la randomisation inter-base.